

01
Переходное и дифракционное излучения заряда на радиально проводящем шаре

© И.И. Каликинский
 e-mail: lgor_kalinskij@rambler.ru

(Поступило в Редакцию 11 января 2012 г.)

Решена задача о переходном излучении заряда на радиально проводящем шаре. Найдены энергия, спектр и поляризации излучения. Рассмотрен случай движения заряда через центр шара для дипольного излучения.

Переходному излучению, открытому В.Л. Гинзбургом и И.М. Франком в 1946 г. [1], посвящено много работ [2] и вышли в свет две книги [3,4]. Значительный интерес представляют задачи на анизотропно проводящих структурах. Задача о переходном излучении на анизотропно проводящей плоскости (прямолинейная анизотропия проводимости) решена в [5]. Переходному излучению заряда на цилиндрически анизотропно проводящей плоскости (полярная анизотропия проводимости) посвящены работы автора [6,7], итог которым подведен в работе [8]. Намечено также решение задачи о переходном и дифракционном излучениях на идеально проводящем шаре и пространственном „ежике“ [9]. Здесь остановимся на задаче о переходном и дифракционном излучениях заряда на радиально проводящем шаре (пространственном „ежике“). Проводимость вдоль сферических радиусов бесконечная, а в поперечных направлениях — нулевая. Эта задача имеет отношение к активным галактическим ядрам, которые, согласно современным взглядам, представляют собой черную дыру, окруженную аккреционным диском, магнитное поле которого сжимает магнитное поле черной дыры до почти монопольного (индукция порядка 10^4 Gs). Частицы в таком поле свободно движутся вдоль него (по сферическим радиусам, проводимость почти бесконечная) и слабо перемещаются поперек поля (проводимость почти нулевая), так что для описания переходного и дифракционного излучений на таком ядре можно использовать модель пространственного „ежика“.

1. Постановка задачи

Имеется радиально проводящий шар радиуса R_0 . Начало координат поместим в центр шара. Проводимость вдоль сферических радиусов внутри шара бесконечная, а в поперечных направлениях нулевая. Антипараллельно оси z равномерно движется электрический заряд q , траектория которого пересекает плоскость $z = 0$ в точке $M_0(x_0, y_0)$, где будем считать $y_0 = 0$. Расстояние от точки M_0 до начала координат $r_0 = \sqrt{x_0^2 + y_0^2}$, причем $0 \leq r_0 < \infty$. Если $0 \leq r_0 \leq R_0$, то имеем дело с переходным излучением, а если $R_0 < r_0 < \infty$ — то с дифракционным.

Движущийся со скоростью $\mathbf{v}(0, 0, -v)$, где $\mathbf{v} = \text{const}$, заряд создает ток с плотностью $\mathbf{j}(0, 0, -j)$, где

$$j = qv\delta(x - x_0)\delta(y - y_0)\delta(z + vt). \quad (1.1)$$

Из уравнений Максвелла для фурье-компонент ($\mathbf{E} = \int_{-\infty}^{\infty} \mathbf{E}_\omega e^{-i\omega t} d\omega$ и т.д.) получаем уравнение для \mathbf{E}_ω :

$$\Delta \mathbf{E}_\omega + \frac{\omega^2}{c^2} \mathbf{E}_\omega = 4\pi \text{grad} \rho_\omega - \frac{4\pi i \omega}{c^2} \mathbf{j}_\omega, \quad (1.2)$$

где

$$j_\omega = \rho_\omega v, \quad (1.3)$$

а из (1.1) с использованием теоремы сложения бесселевых функций [10] получаем

$$j_\omega = \frac{q}{4\pi^2} \sum_{m=-\infty}^{\infty} e^{im\varphi} \int_0^{\infty} J_m(\lambda r_0) J_m(\lambda r) \lambda d\lambda e^{-i \frac{\omega}{v} z}, \quad (1.4)$$

где r, φ, z — цилиндрические координаты, $J_m(x)$ — бесселевы функции.

Основная идея состоит в том, чтобы решить задачу о переходном и дифракционном излучениях заряда на радиально проводящем шаре в цилиндрических координатах r, φ, z .

В качестве потенциала берем составляющие электрической напряженности в этих координатах E_r, E_φ, E_z . Полное поле ищем в виде

$$E_\omega = E_\omega^{(0)} + E_\omega^{(1)}; \quad H_\omega = H_\omega^{(0)} + H_\omega^{(1)}, \quad (1.5)$$

где $E_\omega^{(0)}, H_\omega^{(0)}$ — поля заряда, а $E_\omega^{(1)}, H_\omega^{(1)}$ — поля излучения.

Используя [9], получим

$$E_{\omega r}^{(0)} = \frac{q}{2\pi v} \sum_{m=-\infty}^{\infty} e^{im\varphi} \int_0^{\infty} [B_m(\lambda) J_{m+1}(\lambda r) - C_m(\lambda) J_{m-1}(\lambda r)] \lambda^2 d\lambda e^{-i \frac{\omega}{v} z}, \quad (1.6)$$

$$E_{\omega\varphi}^{(0)} = -\frac{iq}{2\pi\nu} \sum_{m=-\infty}^{\infty} e^{im\varphi} \int_0^{\infty} [B_m(\lambda)J_{m+1}(\lambda r) + C_m(\lambda)J_{m-1}(\lambda r)]\lambda^2 d\lambda e^{-i\frac{\omega}{v}z}, \quad (1.7)$$

$$E_{\omega z}^{(0)} = -\frac{i\omega q}{\pi\nu^2}(1-\beta^2) \sum_{m=-\infty}^{\infty} e^{im\varphi} \times \int_0^{\infty} A_m(\lambda)J_m(\lambda r)\lambda d\lambda e^{-i\frac{\omega}{v}z}, \quad (1.8)$$

где

$$B_m(\lambda) = C_m(\lambda) = \frac{J_m(\lambda r_0)}{\lambda^2 + \frac{\omega^2}{v^2}(1-\beta^2)}, \quad (1.9)$$

$$A_m(\lambda) = -B_m(\lambda), \quad \beta = \frac{v}{c}. \quad (1.10)$$

После излучения ищем в виде [6–8]:

$$\tilde{E}_{\omega r}^{(1)} = \pm \frac{q}{2\pi\nu} \sum_{m=-\infty}^{\infty} e^{im\varphi} \int_0^{\infty} [\tilde{D}_m(\lambda)J_{m+1}(\lambda r) - \tilde{\mathcal{E}}(\lambda)J_{m-1}(\lambda r)]e^{ixz} \lambda d\lambda, \quad (1.11)$$

$$\tilde{E}_{\omega\varphi}^{(1)} = \mp \frac{iq}{2\pi\nu} \sum_{m=-\infty}^{\infty} e^{im\varphi} \int_0^{\infty} [\tilde{D}_m(\lambda)J_{m+1}(\lambda r) + \tilde{\mathcal{E}}(\lambda)J_{m-1}(\lambda r)]e^{ixz} \lambda d\lambda, \quad (1.12)$$

$$\tilde{E}_{\omega z}^{(1)} = \mp \frac{i\omega q}{\pi\nu^2}(1-\beta^2) \sum_{m=-\infty}^{\infty} e^{im\varphi} \times \int_0^{\infty} \tilde{A}_m(\lambda)J_m(\lambda r)e^{ixz} \lambda d\lambda, \quad (1.13)$$

где $0 \leq r < \infty$, $J_m(\lambda r)$ — функции Бесселя, а $\tilde{A}_m(\lambda)$, $\tilde{D}_m(\lambda)$, $\tilde{\mathcal{E}}(\lambda)$ — произвольные функции, при которых интегралы и ряды, входящие в (1.11)–(1.13), сходятся. При $z < 0$ заменяем \sim на \approx и x на $-x$. Здесь

$$x = \sqrt{\frac{\omega^2}{c^2} - \lambda^2}, \quad \text{Im}x > 0. \quad (1.14)$$

Решение задачи ищем при $R > R_0$, где R — сферический радиус. Граничные условия имеют вид

$$\left[H_{\omega\varphi}^{(0)} + \tilde{H}_{\omega\varphi}^{(1)} \right]_{R=R_0} = 0, \quad (1.15)$$

$$\left[H_{\omega\varphi}^{(0)} + \tilde{\tilde{H}}_{\omega\varphi}^{(1)} \right]_{R=R_0} = 0, \quad (1.16)$$

$$\left[E_{\omega R}^{(0)} + \tilde{E}_{\omega R}^{(1)} \right]_{R=R_0} = 0, \quad (1.17)$$

$$\left[E_{\omega R}^{(0)} + \tilde{\tilde{E}}_{\omega R}^{(1)} \right]_{R=R_0} = 0, \quad (1.18)$$

где

$$\mathbf{H}_{\omega} = -\frac{ic}{\omega} \text{rot } \mathbf{E}_{\omega}, \quad (1.19)$$

$$E_{\omega R} = E_{\omega r} \sin \theta + E_{\omega z} \cos \theta. \quad (1.20)$$

Здесь R, θ, φ — сферические координаты. Кроме того, должны выполняться условия

$$\text{div } \tilde{\mathbf{E}}_{\omega}^{(1)} = 0, \quad (1.21)$$

$$\text{div } \tilde{\tilde{\mathbf{E}}}_{\omega}^{(1)} = 0 \quad (1.22)$$

и условия излучения на бесконечности.

2. Решение задачи о переходном и дифракционном излучениях заряда на радиально проводящем шаре

Так как при $R > R_0$ и $z = 0$ составляющие $E_{\omega r}^{(1)}$ и $E_{\omega\varphi}^{(1)}$ непрерывны, то

$$\tilde{D}_m(\lambda) = \tilde{\tilde{D}}_m(\lambda) \left[= D_m(\lambda) \right], \quad (2.1)$$

$$\tilde{\mathcal{E}}_m(\lambda) = \tilde{\tilde{\mathcal{E}}}_m(\lambda) \left[= \mathcal{E}_m(\lambda) \right]. \quad (2.2)$$

Займемся условиями (1.15), (1.16). Рассмотрим функцию

$$F_{\omega m}^{(1)}(R, \theta) = \begin{cases} H_{\omega\varphi m}^{(0)} + \tilde{H}_{\omega\varphi m}^{(0)} & \text{при } 0 \leq \theta \leq \frac{\pi}{2}, \\ H_{\omega\varphi m}^{(0)} + \tilde{\tilde{H}}_{\omega\varphi m}^{(0)} & \text{при } \frac{\pi}{2} < \theta \leq \pi, \end{cases} \quad (2.3)$$

которую, как функцию $\theta(r = R \sin \theta, z = R \cos \theta)$, разложим по присоединенным функциям Лежандра на отрезке $[0, \pi]$

$$F_{\omega m}^{(1)}(R, \theta) = \sum_{n=0}^{\infty} h_{\omega m n\varphi}(R) P_n^{(m)}(\cos \theta), \quad (2.4)$$

где

$$h_{\omega m n\varphi}(R) = \frac{2n+1}{2} \frac{(n-m)!}{(n+m)!} \times \int_0^{\pi} F_{\omega m}^{(1)}(R, \theta') P_n^m(\cos \theta') \sin \theta' d\theta'. \quad (2.5)$$

Тогда граничные условия (2.3) можно заменить условием

$$h_{\omega m n\varphi}(R_0) = 0. \quad (2.6)$$

Разбив интеграл в (2.5) на два интеграла: от 0 до $\pi/2$ и от $\pi/2$ до π , получим уравнение

$$C_{11}(\lambda)D_{mn}(\lambda) + C_{12}(\lambda)\mathcal{E}_{mn}(\lambda) = b_1(\lambda), \quad (2.7)$$

где

$$C_{11}(\lambda) = \int_0^1 \left\{ \left[J_{m+1}(\lambda R_0 \sqrt{1-x^2}) \lambda x + \frac{\lambda^3}{\chi} J'_m(\lambda R_0 \sqrt{1-x^2}) \right] e^{ixR_0x} \left[P_n^{(m)}(x) - P_n^{(m)}(-x) \right] \right\} dx, \quad (2.8)$$

$$C_{12}(\lambda) = - \int_0^1 \left\{ \left[J_{m-1}(\lambda R_0 \sqrt{1-x^2}) \lambda x - \frac{\lambda^3}{\chi} J'_m(\lambda R_0 \sqrt{1-x^2}) \right] e^{ixR_0x} \left[P_n^{(m)}(x) - P_n^{(m)}(-x) \right] \right\} dx, \quad (2.9)$$

$$b_1(\lambda) = \frac{2\omega}{v} B_m(\lambda) \int_0^1 \left\{ J'_m(\lambda R_0 \sqrt{1-x^2}) \lambda^2 \times \left[e^{i\frac{\omega}{v}R_0x} P_n^{(m)}(x) - e^{i\frac{\omega}{v}R_0x} P_n^{(m)}(-x) \right] \right\} dx. \quad (2.10)$$

Поступая аналогично с граничными условиями (1.17), (1.18), получим уравнение

$$C_{21}(\lambda)D_{mn}(\lambda) + C_{22}(\lambda)\mathcal{E}_{mn}(\lambda) = b_2(\lambda), \quad (2.11)$$

где

$$C_{21}(\lambda) = \int_0^1 \left\{ \left[J_{m+1}(\lambda R_0 \sqrt{1-x^2}) \sqrt{1-x^2} + i \frac{\lambda}{\chi} x J_m(\lambda R_0 \sqrt{1-x^2}) \right] \left[P_n^{(m)}(x) + P_n^{(m)}(-x) \right] \right\} e^{ixR_0x} dx, \quad (2.12)$$

$$C_{22}(\lambda) = \int_0^1 \left\{ \left[-J_{m-1}(\lambda R_0 \sqrt{1-x^2}) + i \frac{\lambda}{\chi} x J_m(\lambda R_0 \sqrt{1-x^2}) \right] e^{ixR_0x} \left[P_n^{(m)}(x) + P_n^{(m)}(-x) \right] \right\}, \quad (2.13)$$

$$b_2(\lambda) = 2B_m(\lambda) \int_0^1 \left\{ J'_m(\lambda R_0 \sqrt{1-x^2}) \lambda \times \left[e^{-i\frac{\omega}{v}R_0x} P_n^{(m)}(x) + e^{i\frac{\omega}{v}R_0x} P_n^{(m)}(-x) \right] + \frac{i\omega}{v} (1-\beta^2) J_m(\lambda R_0 \sqrt{1-x^2}) x \times \left[e^{-i\frac{\omega}{v}R_0x} P_n^{(m)}(x) - e^{i\frac{\omega}{v}R_0x} P_n^{(m)}(-x) \right] \right\} dx. \quad (2.14)$$

Заметим, что в процессе решения задачи появился значок n ($0 \leq n < \infty$). Поэтому поле излучения имеет вид

$$\mathbf{E}_\omega^{(1)} = \frac{q}{2\pi v} \sum_{n=0}^{\infty} \sum_{m=-n}^n \mathbf{E}_{\omega mn}^{(1)} e^{im\varphi}, \quad (2.15)$$

$$\mathbf{H}_\omega^{(1)} = -\frac{ic}{\omega} \text{rot } \mathbf{E}_\omega^{(1)}, \quad (2.16)$$

и сумма по m будет от $-n$ до $+n$, так как

$$P_n^{(m)}(\cos\theta) = 0 \text{ при } |m| > n. \quad (2.17)$$

Заменив в сумме по m от $-n$ до -1 знак m на $-m$ и используя формулу [10]

$$P_n^{(-m)}(x) = (-1)^m \frac{(n-m)!}{(n+m)!} P_n^{(m)}(x), \quad (2.18)$$

получим

$$D_{(-m)n}(\lambda) = (-1)^m \mathcal{E}_{mn}(\lambda), \quad (2.19)$$

$$\mathcal{E}_{(-m)n}(\lambda) = (-1)^m D_{mn}(\lambda). \quad (2.20)$$

Таким образом,

$$\tilde{E}_{\omega r}^{(1)} = \frac{q}{2\pi v} \sum_{n=0}^{\infty} \sum_{m=0}^n \varepsilon_m(\varphi) \int_0^{\infty} \left[D_{mn}(\lambda) J_{m+1}(\lambda r) - \mathcal{E}_{mn}(\lambda) J_{m-1}(\lambda r) \right] e^{ixz} \lambda d\lambda, \quad (2.21)$$

$$\tilde{E}_{\omega \varphi}^{(1)} = -\frac{iq}{2\pi v} \sum_{n=0}^{\infty} \sum_{m=0}^n \sin m\varphi \int_0^{\infty} \left[D_{mn}(\lambda) J_{m+1}(\lambda r) + \mathcal{E}_{mn}(\lambda) J_{m-1}(\lambda r) \right] e^{ixz} \lambda d\lambda, \quad (2.22)$$

$$\tilde{E}_{\omega z}^{(1)} = -\frac{i\omega q}{\pi v^2} (1-\beta^2) \times \sum_{n=0}^{\infty} \sum_{m=0}^n \int_0^{\infty} \varepsilon_m(\varphi) \tilde{A}_{mn}(\lambda) J_m(\lambda r) e^{ixz} \lambda d\lambda, \quad (2.23)$$

где

$$\varepsilon_m(\varphi) = \begin{cases} 1 & \text{при } m = 0, \\ 2 \cos m\varphi & \text{при } m \neq 0. \end{cases} \quad (2.24)$$

В волновой зоне

$$\frac{\omega}{c} R \gg 1, \quad (2.25)$$

переход от функций Бесселя к функциям Ханкеля, используя асимптотику и соотношения обхода последних [10], а также метод перевала, получим

$$\tilde{E}_{\omega rmn}^{(1)} = \frac{q\omega}{\pi v c} \left[D_{mn} \left(\frac{\omega}{c} \sin\theta \right) + \mathcal{E}_{mn} \left(\frac{\omega}{c} \sin\theta \right) \right] \times \cos\theta \varepsilon_m(\varphi) \frac{e^{i\frac{\omega}{c}R - im\frac{\pi}{2}}}{R}, \quad (2.26)$$

$$\tilde{E}_{\omega\varphi mn}^{(1)} = -\frac{iq\omega}{\pi v c} \left[D_{mn} \left(\frac{\omega}{c} \sin \theta \right) - \mathcal{E}_{mn} \left(\frac{\omega}{c} \sin \theta \right) \right] \times \cos \theta \sin m\varphi \frac{e^{i \frac{\omega}{c} R - im \frac{\pi}{2}}}{R}, \quad (2.27)$$

$$\tilde{E}_{\omega z mn}^{(1)} = -\frac{q\omega}{\pi v c} \left[D_{mn} \left(\frac{\omega}{c} \sin \theta \right) + \mathcal{E}_{mn} \left(\frac{\omega}{c} \sin \theta \right) \right] \times \sin \theta \varepsilon_m(\varphi) \frac{e^{i \frac{\omega}{c} R - im \frac{\pi}{2}}}{R}. \quad (2.28)$$

Используя формулу

$$E_{\omega\theta} = E_{\omega r} \cos \theta - E_{\omega z} \sin \theta, \quad (2.29)$$

получим

$$\tilde{E}_{\omega\theta mn}^{(1)} = \frac{q\omega}{\pi v c} \left[D_{mn} \left(\frac{\omega}{c} \sin \theta \right) + \mathcal{E}_{mn} \left(\frac{\omega}{c} \sin \theta \right) \right] \times \varepsilon_m(\varphi) \frac{e^{i \frac{\omega}{c} R - im \frac{\pi}{2}}}{R}. \quad (2.30)$$

Выясним вопрос о поляризации излучения. Для этого заметим [10], что

$$P_n^m(-x) = (-1)^{n+m} P_n^{(m)}(x), \quad (2.31)$$

ввиду чего следует рассмотреть 2 случая:

1) $n + m$ — нечетное ($m \neq 0$). Имеем

$$C_{11}(\lambda) = |C_{11}(\lambda)| e^{i\chi_1},$$

$$C_{12}(\lambda) = |C_{12}(\lambda)| e^{i\chi_2} \quad \text{— известные,}$$

$$D_{mn}(\lambda) = |D_{mn}(\lambda)| e^{i\psi_1},$$

$$\mathcal{E}_{mn}(\lambda) = |\mathcal{E}_{mn}(\lambda)| e^{i\psi_2} \quad \text{— неизвестные.}$$

Решая систему уравнений (2.7) и ей комплексно сопряженную, полагая

$$D_{mn}(\lambda) + \mathcal{E}(\lambda) = |D_{mn}(\lambda) + \mathcal{E}_{mn}(\lambda)| e^{i\bar{\psi}}, \quad (2.32)$$

$$D_{mn}(\lambda) - \mathcal{E}_{mn}(\lambda) = |D_{mn}(\lambda) - \mathcal{E}_{mn}(\lambda)| e^{i\bar{\bar{\psi}}}, \quad (2.33)$$

и потребовав, чтобы

$$\bar{\bar{\psi}} = \bar{\psi} [= \psi],$$

получим

$$\frac{|D_{mn}(\lambda)|}{|\mathcal{E}_{mn}(\lambda)|} = -\frac{|C_{12}(\lambda)| \sin(\psi_2 + \chi_2)}{|C_{11}(\lambda)| \sin(\psi_1 + \chi_1)}, \quad (2.34)$$

откуда следует, что

$$\frac{\sin(\psi_2 + \chi_2)}{\sin(\psi_1 + \chi_1)} < 0. \quad (2.35)$$

Положим

$$\psi_1 + \chi_1 = -\alpha_1, \quad \psi_2 + \chi_2 = \alpha_1. \quad (2.36)$$

Из условия $\bar{\bar{\psi}} = \bar{\psi}$ получаем уравнение для α_1

$$\frac{|C_{12}| \sin(\alpha_1 - \chi_2) + |C_{11}| \sin(\alpha_1 + \chi_1)}{|C_{12}| \cos(\alpha_1 - \chi_2) - |C_{11}| \cos(\alpha_1 + \chi_1)} = \frac{|C_{12}| \sin(\alpha_1 - \chi_2) - |C_{11}| \sin(\alpha_1 + \chi_1)}{|C_{12}| \cos(\alpha_1 - \chi_2) + |C_{11}| \cos(\alpha_1 + \chi_1)}. \quad (2.37)$$

Из вышеизложенного и формул (2.27) и (2.30) следует, что поле в волновой зоне эллиптически поляризовано, причем электрический вектор вращается против часовой стрелки.

2) $n + m$ — четное ($m \neq 0$).

Записав уравнение, комплексно сопряженное (2.11), и полагая

$$C_{21}(\lambda) = |C_{21}(\lambda)| e^{i\chi_3},$$

$$C_{22}(\lambda) = |C_{22}(\lambda)| e^{i\chi_4} \quad \text{— известные,}$$

$$D_{mn}(\lambda) = |D_{mn}(\lambda)| e^{i\psi_3},$$

$$\mathcal{E}_{mn}(\lambda) = |\mathcal{E}_{mn}(\lambda)| e^{i\psi_4} \quad \text{— неизвестные, найдем} \quad (2.38)$$

$$\frac{\operatorname{Re} b_2(\lambda) \sin(\psi_4 + \chi_4) - \operatorname{Im} b_2(\lambda) \cos(\psi_4 + \chi_4)}{\operatorname{Im} b_2(\lambda) \cos(\psi_3 + \chi_3) - \operatorname{Re} b_2(\lambda) \sin(\psi_3 + \chi_3)} > 0, \quad (2.39)$$

откуда следует, что либо числитель и знаменатель (2.38) положительные, либо оба они отрицательные.

Полагая

$$\psi_3 + \chi_3 = -\alpha_2; \quad \psi_4 + \chi_4 = \alpha_2 \quad (2.40)$$

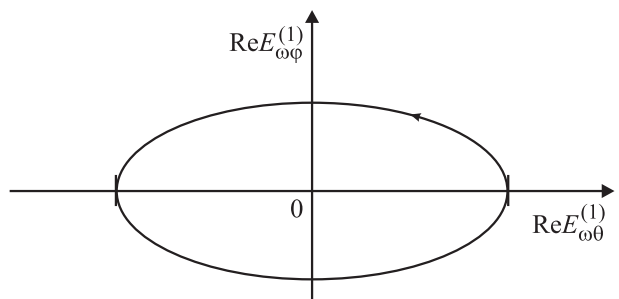
и перемножив числитель и знаменатель (2.39), найдем, что в обоих случаях

$$[\operatorname{Re} b_2(\lambda)]^2 \sin^2 \alpha_2 + [\operatorname{Im} b_2(\lambda)]^2 \cos^2 \alpha_2 > 0, \quad (2.41)$$

что всегда справедливо.

Потребовав в формулах (2.32) и (2.33), чтобы $\bar{\bar{\psi}} = \bar{\psi} [= \psi]$, снова получим уравнение для α_2 (2.37), где следует заменить $|C_{11}|$ на $|C_{21}|$ и $|C_{12}|$ на $|C_{22}|$, χ_1 на χ_3 , χ_2 на χ_4 , α_1 на α_2 .

Таким образом, и в этом случае имеем эллиптическую поляризацию, где электрический вектор вращается против часовой стрелки (см. рисунок).



Для спектральной интенсивности излучения в единицу телесного угла Ω получим

$$\frac{dW_{\omega mn}}{d\Omega} = c \left| E_{\omega\theta n}^{(1)} \right|^2. \quad (2.42)$$

3. Переходное излучение заряда на радиально проводящем шаре, когда траектория заряда проходит через центр шара ($r_0 = 0$) и скорость заряда мала

Известно в этом случае (дипольное излучение) излучаются в основном низкие частоты. Поэтому будем считать

$$\frac{\omega}{v} R_0 \ll 1. \quad (3.1)$$

Тогда и

$$\frac{\omega}{c} R_0 \ll 1. \quad (3.2)$$

Рассмотрим вначале случай

$$m \neq 0. \quad (3.3)$$

Поскольку $r_0 = 0$, то

$$b_1(\lambda) = b_2(\lambda) = 0. \quad (3.4)$$

Поскольку определитель системы (2.7), (2.11) не равен нулю, то излучение отсутствует.

Пусть теперь

$$m = 0. \quad (3.5)$$

Если а) n — четное, то уравнение (2.7) обращается в тождество

$$0D_{0n}(\lambda) + 0\mathcal{E}_{0n}(\lambda) = 0, \quad (3.6)$$

а уравнение (2.11) принимает вид

$$C_{21}(\lambda)D_{0n}(\lambda) + C_{22}(\lambda)\mathcal{E}_{0n}(\lambda) = b_2(\lambda), \quad (3.7)$$

где с учетом (3.1), (3.2) имеем

$$C_{21}(\lambda) = \int_0^1 \frac{i\lambda}{x} x 2P_n(x) dx, \quad (3.8)$$

$$C_{22}(\lambda) = \frac{i\lambda}{x} \int_0^1 x 2P_n(x) dx. \quad (3.9)$$

$$b_2(\lambda) = 0. \quad (3.10)$$

С учетом (3.6)–(3.8) получаем

$$D_{0n}(\lambda) = \mathcal{E}_{0n}(\lambda) = 0, \quad (3.11)$$

т. е. излучение отсутствует.

Если же б) n — нечетное, то уравнение (2.7) принимает вид

$$C_{11}(\lambda)D_{0n}(\lambda) + C_{12}(\lambda)\mathcal{E}_{0n}(\lambda) = b_1(\lambda), \quad (3.11)'$$

где

$$C_{11}(\lambda) = C_{12}(\lambda) = \int_0^1 J_1(\lambda R_0 \sqrt{1-x^2}) \frac{\lambda}{x} \frac{\omega^2}{c^2} 2P_n(x) dx, \quad (3.12)$$

$$b_1(\lambda) = -\frac{2\omega}{v} B_0(\lambda) \lambda^2 \int_0^1 J_1(\lambda R_0 \sqrt{1-x^2}) 2P_n(x) dx. \quad (3.13)$$

Так как $C_{21}(\lambda) = 0$, $C_{22}(\lambda) = 0$, $b_2(\lambda) \neq 0$, то уравнение (2.11) не имеет решений. Из (3.11)'

$$C_{11}(\lambda)[D_{0n}(\lambda) + \mathcal{E}_{0n}(\lambda)] = b_1(\lambda), \quad (3.14)$$

откуда

$$D_{0n}(\lambda) + \mathcal{E}_{0n}(\lambda) = \frac{-\frac{2\omega}{v} B_0(\lambda) \lambda \int_0^1 J_1(\lambda R_0 \sqrt{1-x^2}) 2P_n(x) dx}{\int_0^1 J_1(\lambda R_0 \sqrt{1-x^2}) \frac{\lambda}{x} \frac{\omega^2}{c^2} 2P_n(x) dx}, \quad (3.15)$$

$$D_{0n}(\lambda) + \mathcal{E}_{0n}(\lambda) = -\frac{2\omega}{v} \frac{c^2}{\omega} \lambda - B_0(\lambda). \quad (3.16)$$

Откуда спектральная интенсивность излучения в единицу телесного угла Ω равна

$$\frac{dW_{\omega 0n}}{d\Omega} = \frac{4q^2}{\pi^2 c} \sin^2 \theta \cos^2 \theta. \quad (3.17)$$

Интегрируя по углам, получим

$$dW_{\omega 0n} = \frac{32q^2}{15\pi} d\omega. \quad (3.18)$$

И наконец, интегрируя по ω от 0 до v/R_0 , получим, что заряда теряет на излучение энергию

$$\frac{32q^2}{15\pi R_0} \beta. \quad (3.19)$$

Поляризация излучения в этом случае линейная, причем электрический вектор лежит в плоскости, проходящей через луч в точку наблюдения и ось z .

Список литературы

- [1] Гинзбург В.Л., Франк И.М. // ЖЭТФ. 1946. Т. 16. Вып. 1. С. 15–28.
- [2] Варданян Л.А., Мелкумова И.Г. Библиография работ по переходному излучению заряженных частиц (1945–1982) / Под ред. Г.М. Гарибяна. Ереван: Ереванский физический институт, 1983.
- [3] Гарибян Г.М., Ян-Ши. Рентгеновское переходное излучение. Ереван: Изд-во АН Арм. ССР, 1983. 320 с.
- [4] Гинзбург В.Л., Цытович В.Н. Переходное излучение и переходное рассеяние. М.: Наука, 1984. 360 с.
- [5] Барсуков К.А., Нарышкина Л.Г. // Радиоп физика, 1965. Т. 8. № 5. С. 936–941.
- [6] Каликинский И.И. // ЖТФ. 1991. Т. 61. Вып. 9. С. 20–26.

- [7] Каликинский И.И. // ЖТФ. 1995. Т. 65. Вып. 10. С. 131–142.
- [8] Каликинский И.И. // ЖТФ. 2002. Т. 72. Вып. 6. С. 1–4.
- [9] Каликинский И.И. // ЖТФ. 2009. Т. 79. Вып. 12. С. 1–9.
- [10] Градштейн И.С., Рыжик И.М. Таблицы интегралов, сумм, рядов и произведений. М.: Физматгиз, 1963. 1097 с.